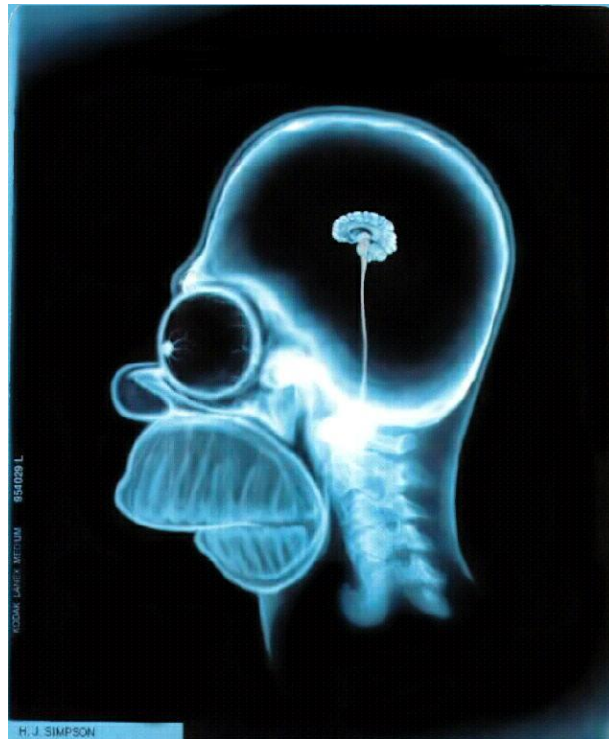


Procesamiento digital de Imágenes

Tomografía

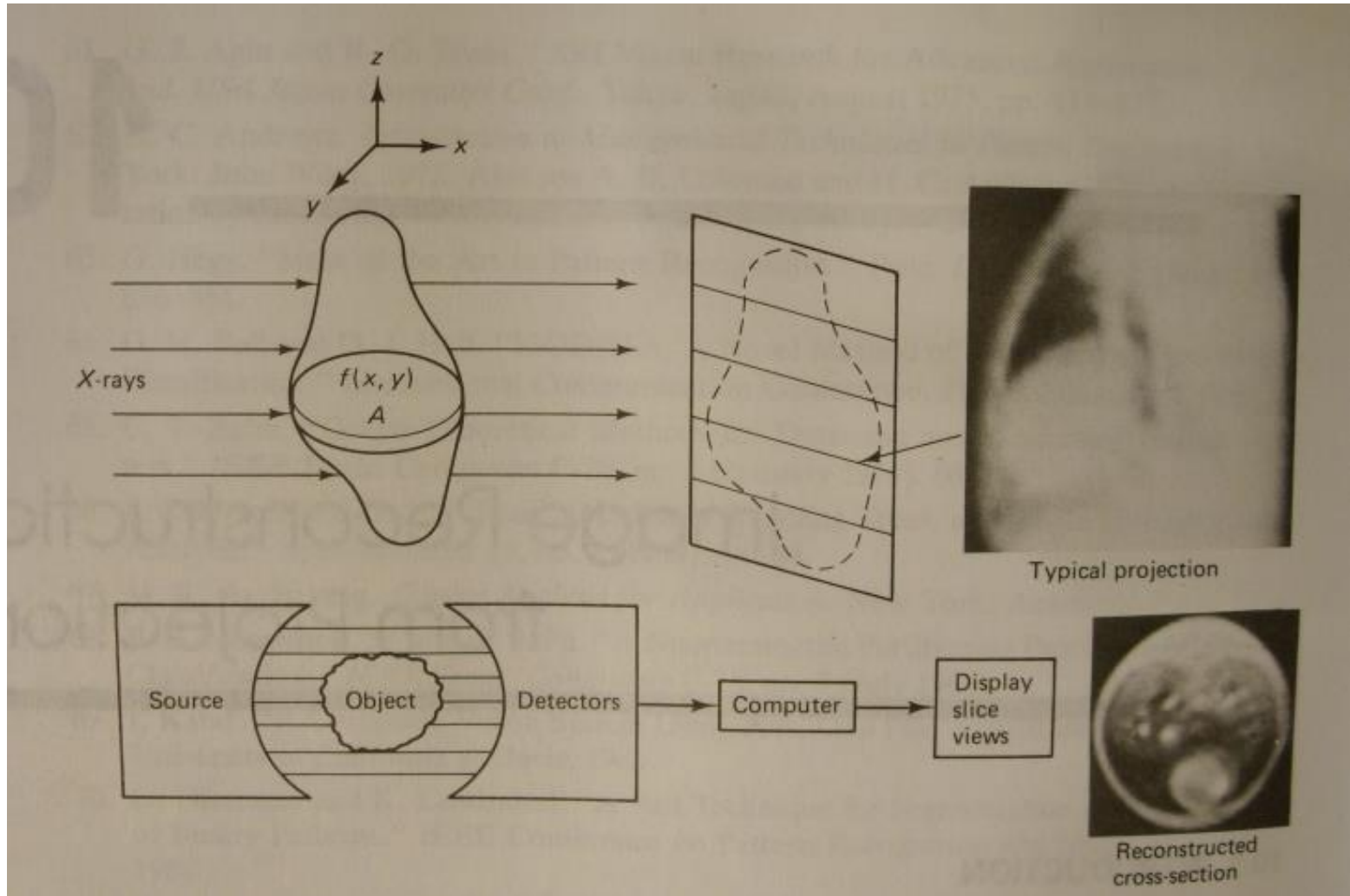


Introducción

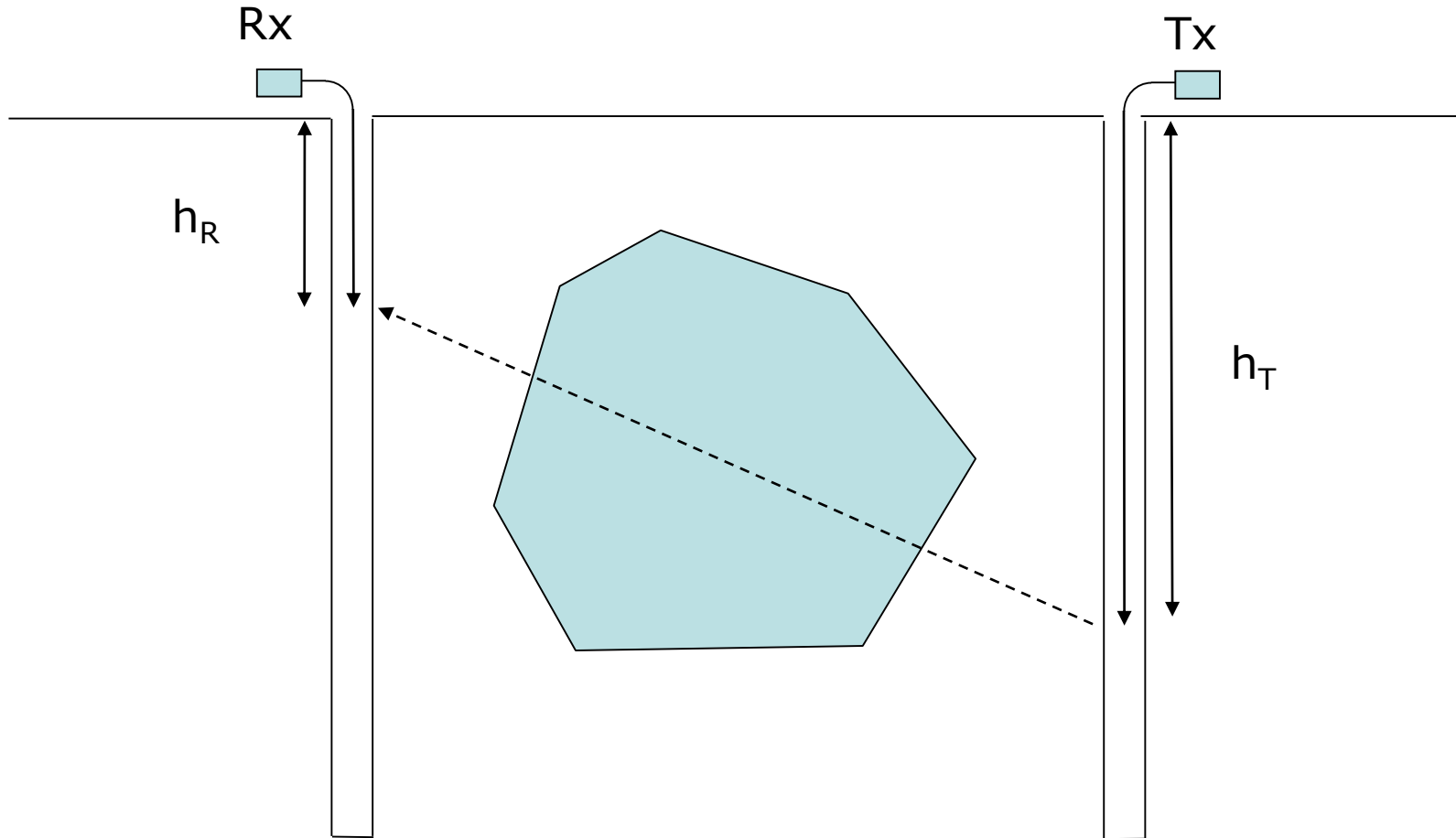
- Uso mas frecuente en medicina
- Acústica
- Microondas
- Geología
- Microscopios electrónicos
- Radiotelescopios
- Rayos-X Positrones Rayos gama

Fundamentos

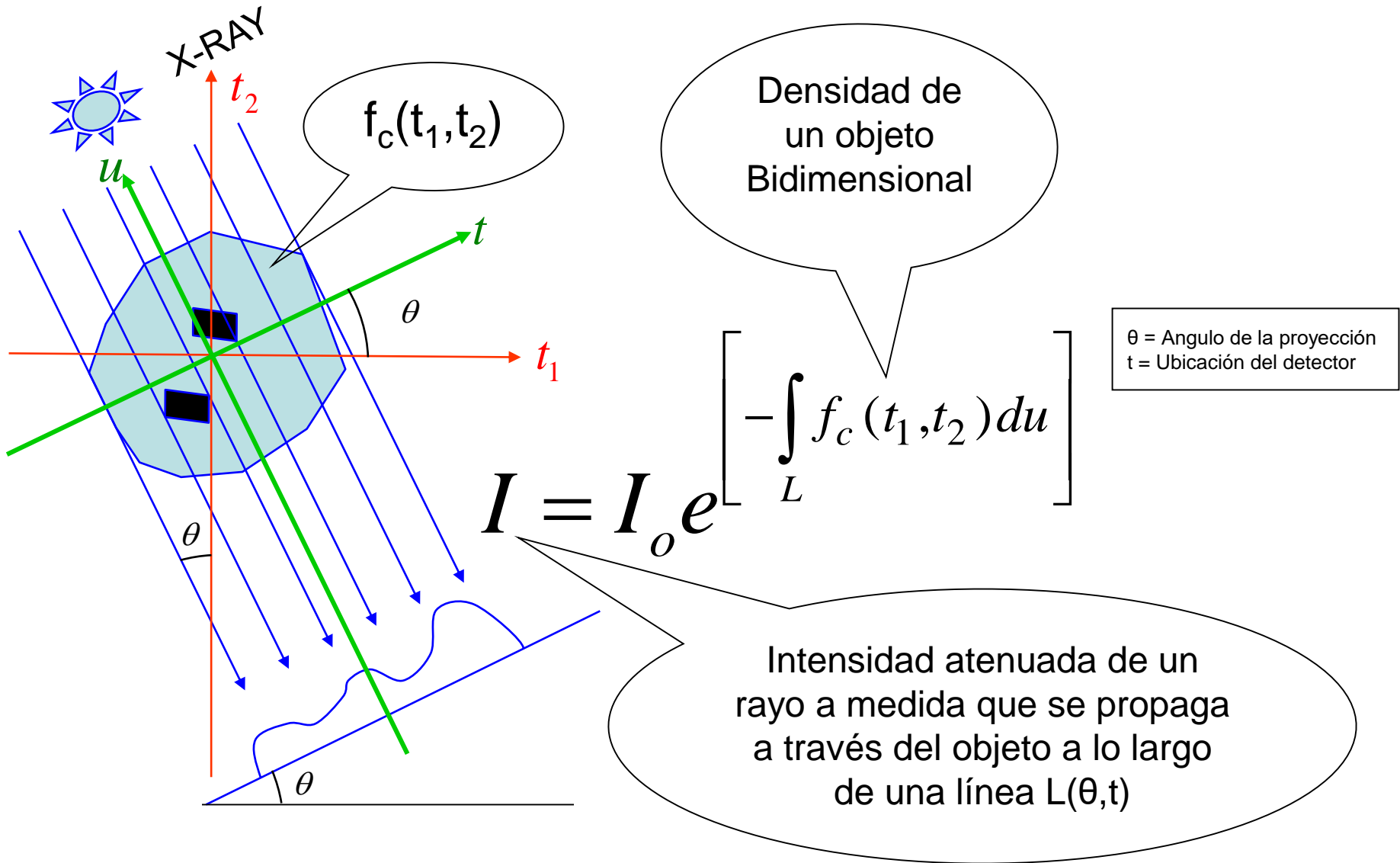
- Concepto de proyección



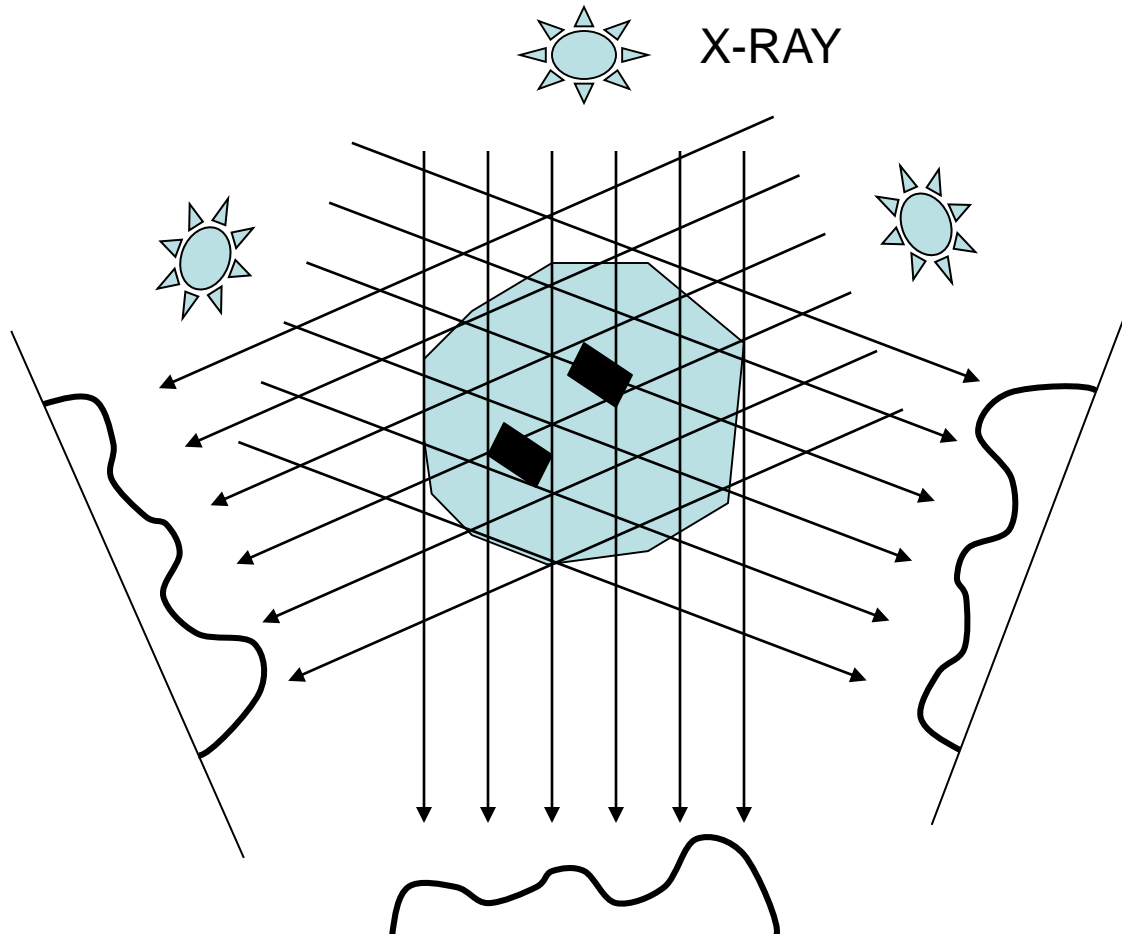
Aplicación en Geología



Concepto de proyección



Concepto de proyección



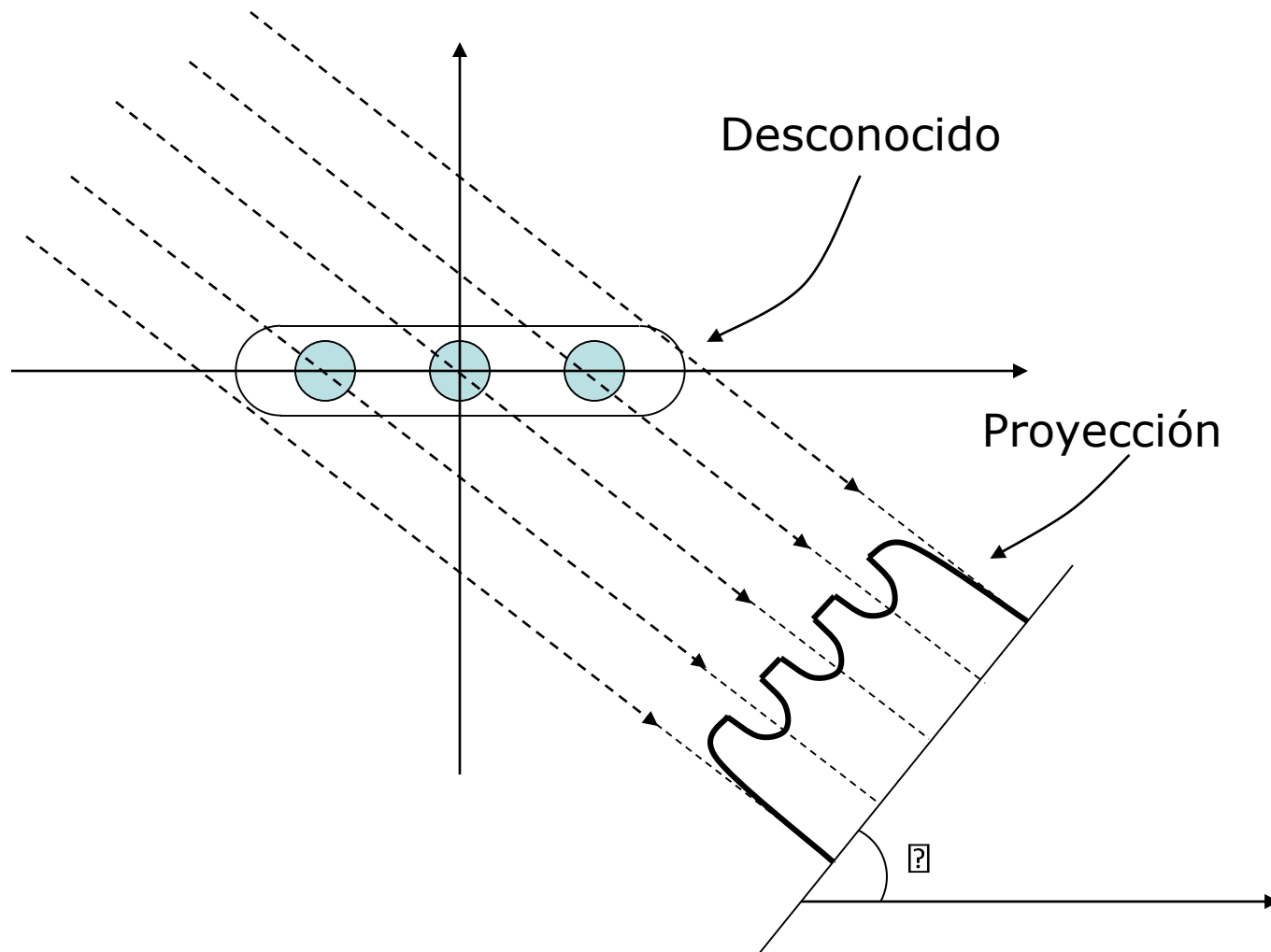
Fundamentos

Proyección:

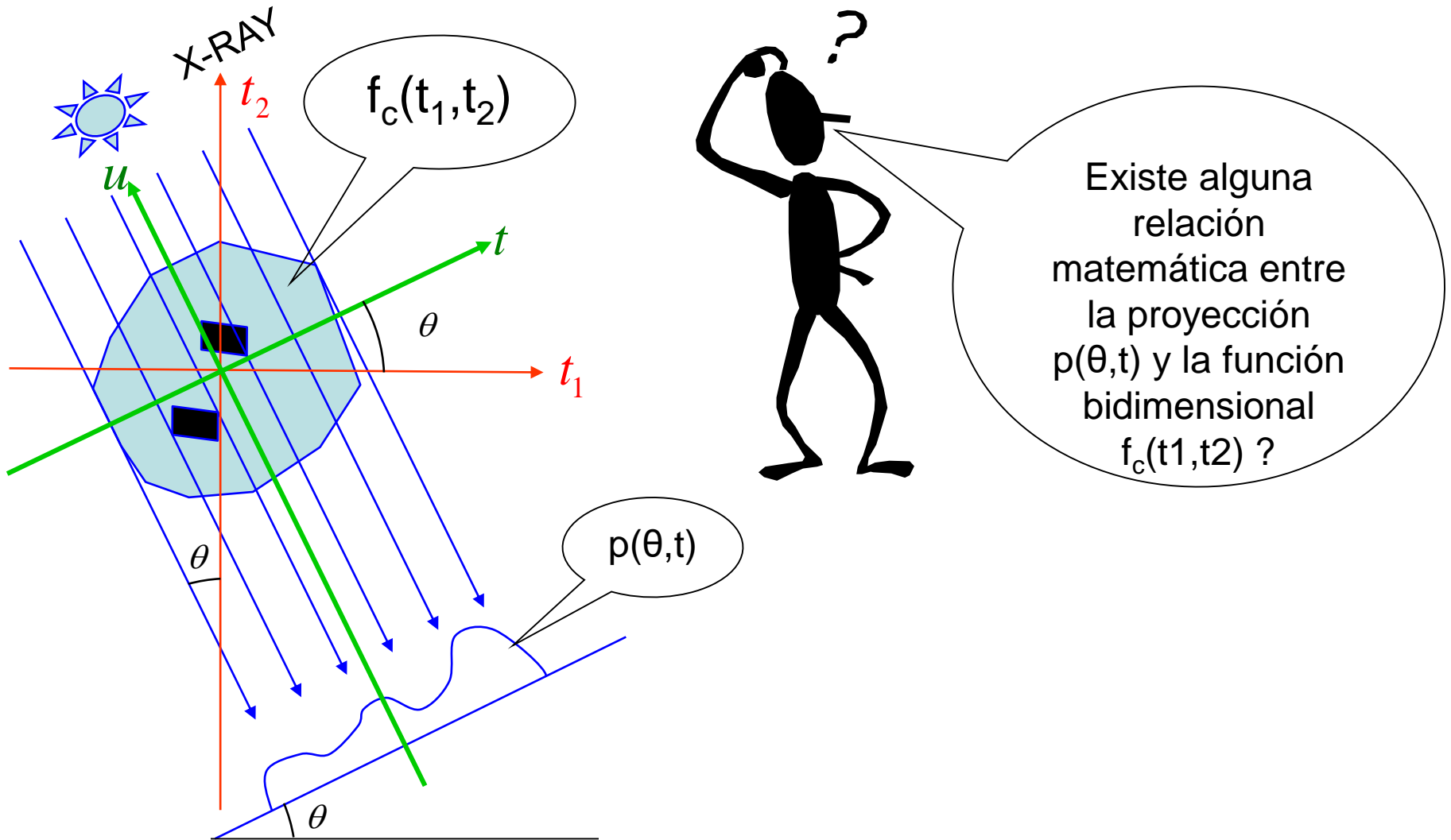
Es la operación matemática cuyo resultado es similar a la operación física de tomar una foto irradiada por un haz colimado de rayos X

Objetivo: Reconstruir el objeto en 2D a partir de proyecciones en diferentes ángulos

Fundamentos



Projection Slice Theorem



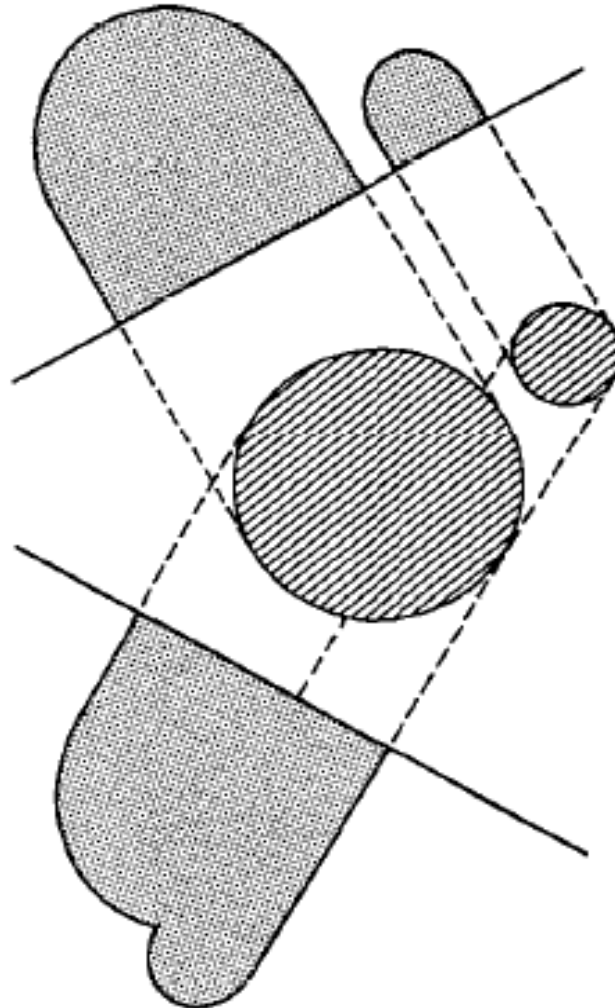
Projection Slice Theorem

$$I = I_o e^{\left[-\int_L f_c(t_1, t_2) du \right]}$$

$$\ln \frac{I_o}{I} = \int_L f_c(t_1, t_2) du = p(\theta, t)$$

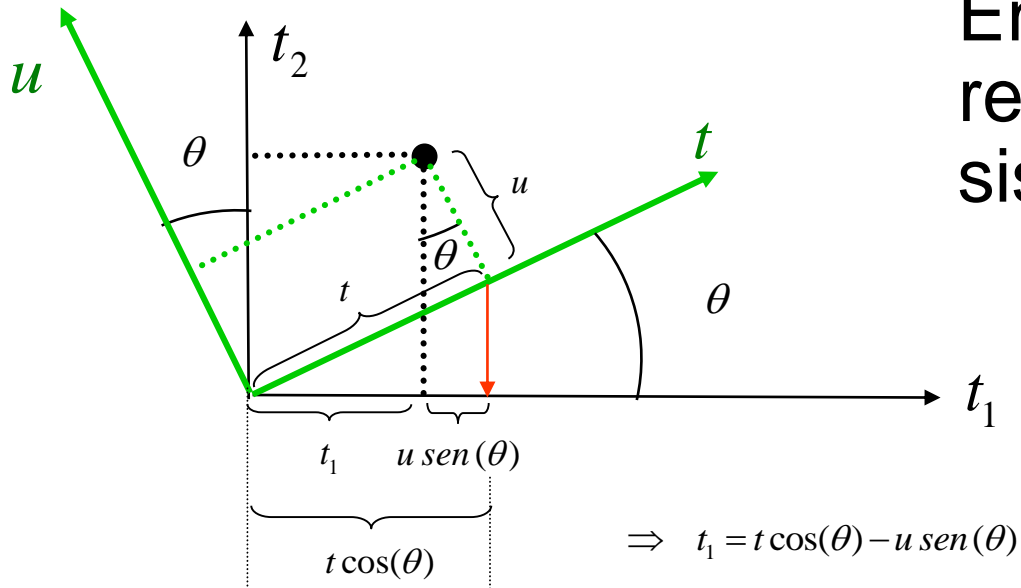
Projection Slice Theorem

Ejemplo

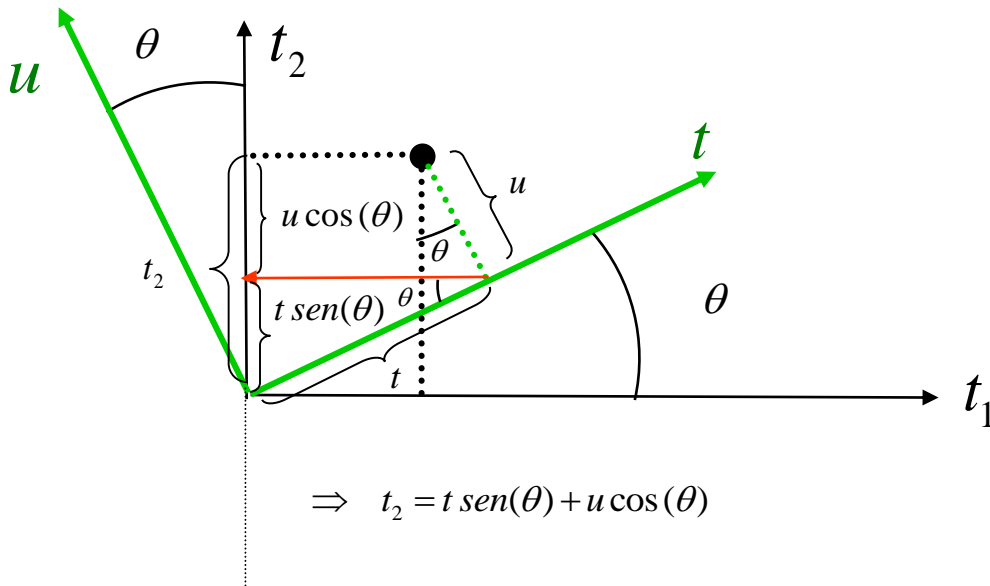


Projection Slice Theorem

Encontramos ahora la relación entre ambos sistemas coordenados.



Projection Slice Theorem



Resumiendo

$$t_1 = t \cos(\theta) - u \sin(\theta)$$

$$t_2 = t \sin(\theta) + u \cos(\theta)$$

Projection Slice Theorem

$$p(\theta, t) = \int_L f_c(t_1, t_2) \Big|_{\substack{t_1 = t \cos(\theta) - u \sin(\theta) \\ t_2 = t \sin(\theta) + u \cos(\theta)}} du$$

De aquí en mas nuestro objetivo será encontrar una relación entre la TF 2D de $f_c(t_1, t_2)$ y la TF 1D de $p(\theta, t)$.

Esto se puede hacer mediante lo que se conoce como Projection Slice Theorem

Projection Slice Theorem

Empecemos por encontrar la TF de $f_c(t_1, t_2)$

$$F_c(\Omega_1, \Omega_2) = 2D \text{ CTFT} \{f_c(t_1, t_2)\}$$

$$F_c(\Omega_1, \Omega_2) = \int_{t_1=-\infty}^{+\infty} \int_{t_2=-\infty}^{+\infty} f_c(t_1, t_2) e^{-j\Omega_1 t_1} e^{-j\Omega_2 t_2} dt_1 dt_2$$

A su vez la 2D CIFT de $F_c(\Omega_1, \Omega_2)$ será:

$$f_c(t_1, t_2) = \frac{1}{4\pi^2} \int_{\Omega_1=-\infty}^{+\infty} \int_{\Omega_2=-\infty}^{+\infty} F_c(\Omega_1, \Omega_2) e^{j\Omega_1 t_1} e^{j\Omega_2 t_2} d\Omega_1 d\Omega_2$$

Projection Slice Theorem

Por otro lado la TF 1D de $p(\theta, t)$ es:

$$P_{\theta}(\Omega) = 1D \text{ CTFT } \{p(\theta, t)\}$$

$$P_{\theta}(\Omega) = \int_{t=-\infty}^{+\infty} p(\theta, t) e^{-j\Omega t} dt$$

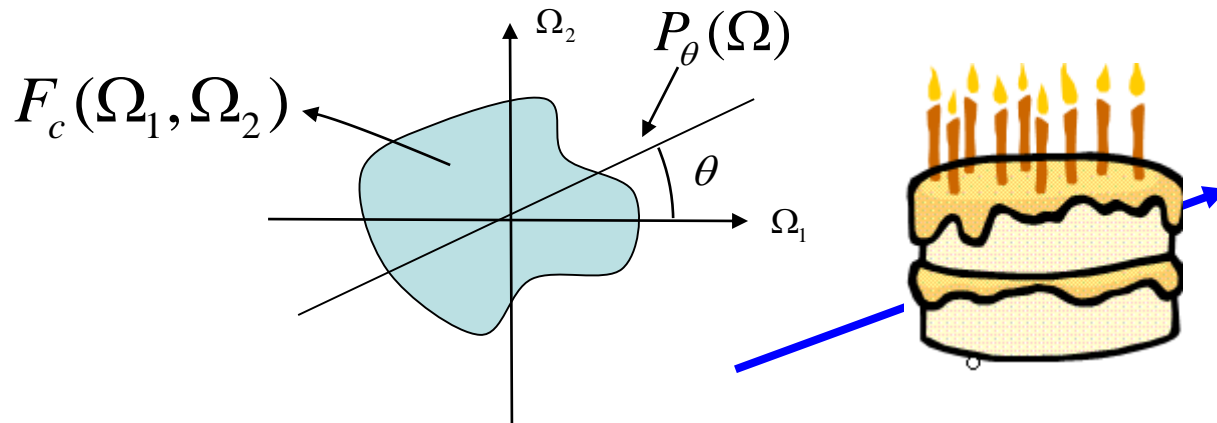
Projection Slice Theorem

Ahora el Projection Slice Theorem establece que:

$$P_{\theta}(\Omega) = F_c(\Omega_1, \Omega_2) \Big|_{\substack{\Omega_1 = \Omega \cos \theta \\ \Omega_2 = \Omega \sin \theta}}$$

$$P_{\theta}(\Omega) = F_c(\Omega \cos \theta, \Omega \sin \theta)$$

Slice of F_c



Projection Slice Theorem

Este teorema es de gran utilidad ya que si tomamos múltiples proyecciones a diferentes ángulos podemos reconstruir la transformada de fourier de $f_c(t_1, t_2)$. Luego aplicando la Transformada inversa obtenemos el objeto original.

$$P_{\theta}(\Omega) \rightarrow F_c(\Omega \cos \theta, \Omega \sin \theta) \rightarrow f_c(t_1, t_2)$$

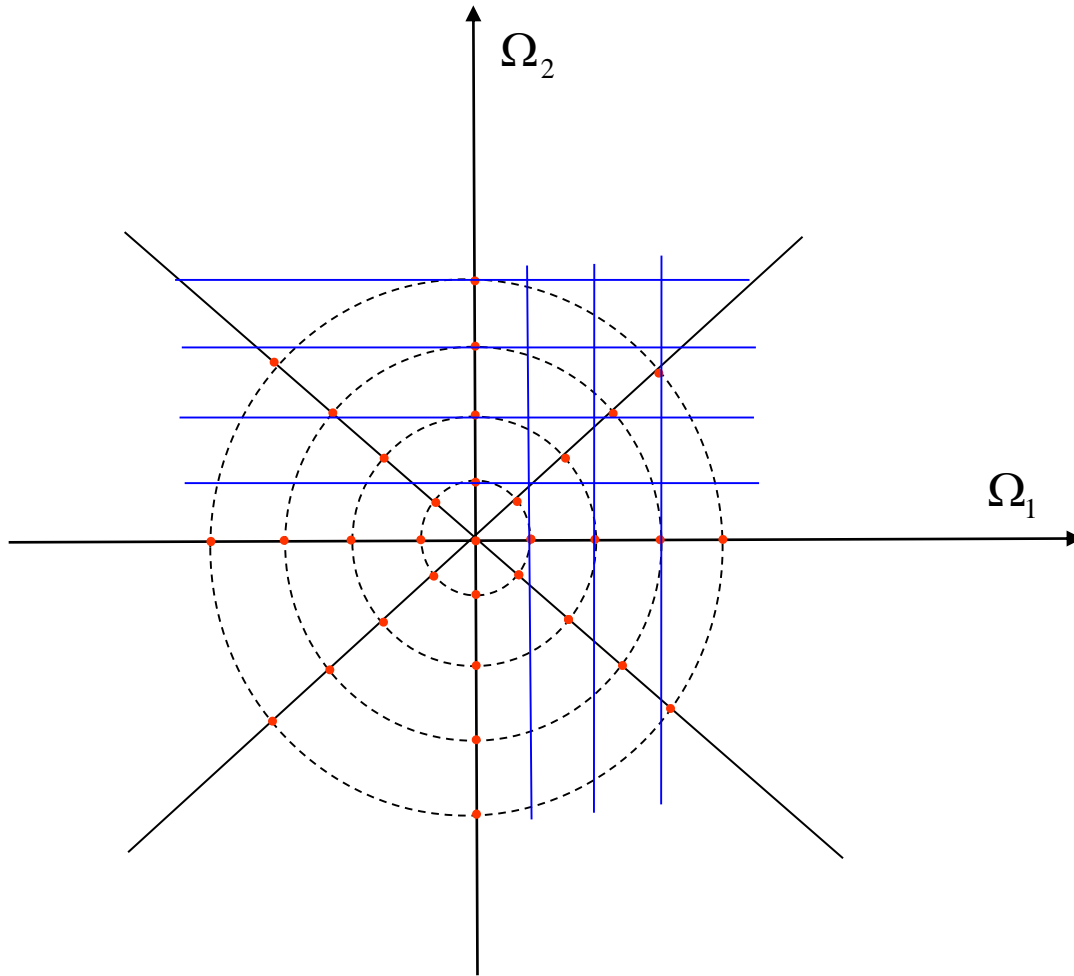
$$\theta = \theta_1, \theta_2, \theta_3 \dots$$

Técnicas de reconstrucción

1. Simple : - Nearest Neighbor (interpolación de orden cero)
- Interpolación de primer orden.
2. Formula de inversión de Radon
3. Técnicas Iterativas

Reconstrucción de la Transformada

Polar Sampling: Ej.: DFT de 9 puntos en cada direccion , 8 proyecciones
Las muestras están igualmente espaciadas

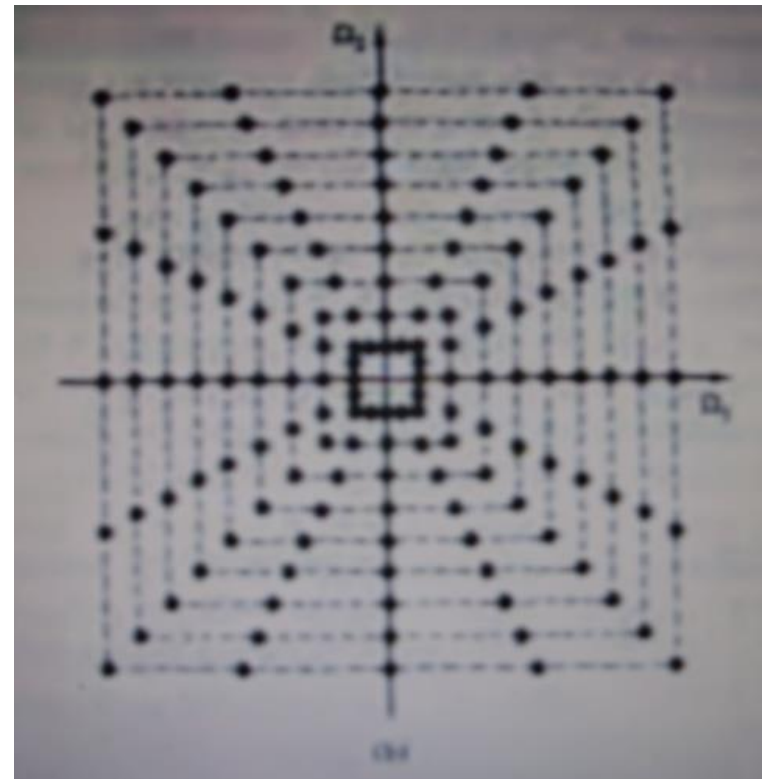
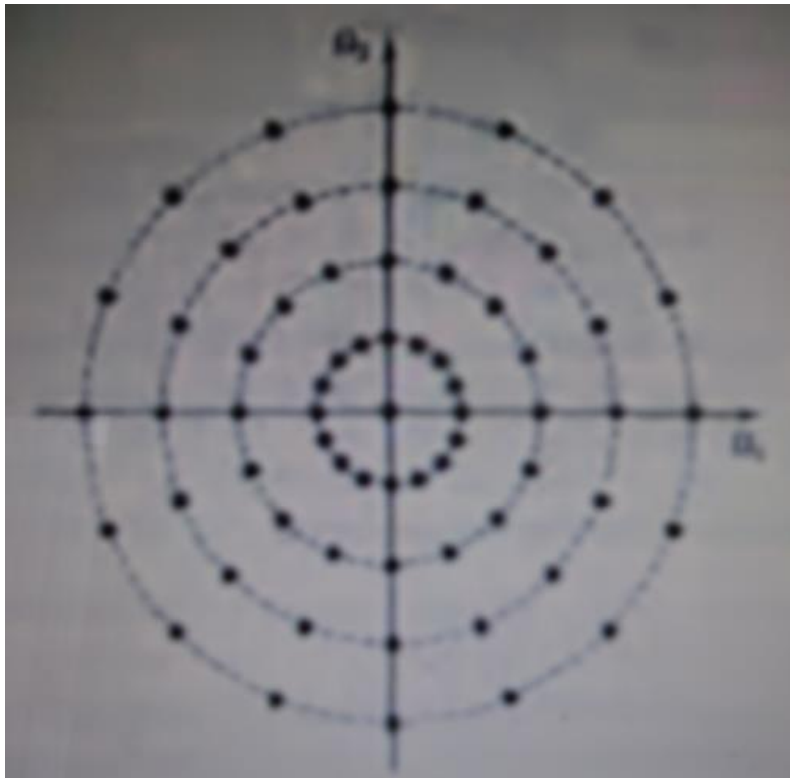


Debemos encontrar los valores de la transformada en la grilla cartesiana a partir de los valores de la misma en forma polar (puntos rojos). La solución es Interpolar. Los métodos mas simples son:

Zeroth order \rightarrow Nearest Neighbor
First order \rightarrow Weighed Sum of neighbor samples (Average)

Reconstrucción de la Transformada

Si modificamos la distancia entre las muestras en función del ángulo (obtenemos cuadrados concéntricos).



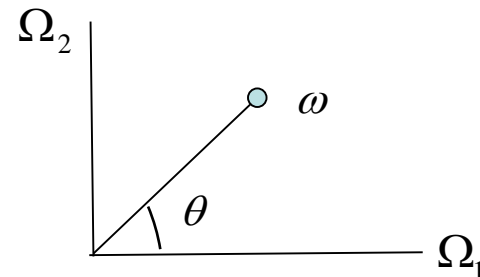
Formula de inversion de Radon

Partiendo de la IDFT 2D de $F_c(\Omega_1, \Omega_2)$

$$f_c(t_1, t_2) = \frac{1}{4\pi^2} \int_{\Omega_1=-\infty}^{+\infty} \int_{\Omega_2=-\infty}^{+\infty} F_c(\Omega_1, \Omega_2) e^{j\Omega_1 t_1} e^{j\Omega_2 t_2} d\Omega_1 d\Omega_2$$

Vamos a convertirla a coordenadas polares esto es: $(\Omega_1, \Omega_2) \rightarrow (\omega, \theta)$.

Para realizar la conversión deberemos hacer uso del jacobiano



Formula de inversion de Radon

Recordando que :

si $x = g(u, v)$ y $y = h(u, v)$ entonces :

$$\iint f(x, y) dx dy = \iint f(g(u, v), h(u, v)) J du dv \quad \text{donde}$$

$$J = \frac{\partial(x, y)}{\partial(u, v)} = \begin{vmatrix} \frac{\partial(x)}{\partial(u)} & \frac{\partial(x)}{\partial(v)} \\ \frac{\partial(y)}{\partial(u)} & \frac{\partial(y)}{\partial(v)} \end{vmatrix} = \frac{\partial(x)}{\partial(u)} \frac{\partial(y)}{\partial(v)} - \frac{\partial(y)}{\partial(u)} \frac{\partial(x)}{\partial(v)}$$

Formula de inversion de Radon

si $\Omega_1 = g(\omega, \theta) = \omega \cos \theta$ y $\Omega_2 = h(\omega, \theta) = \omega \sin \theta$

entonces :

$$J = \frac{\partial(x, y)}{\partial(u, v)} = \begin{vmatrix} \cos \theta & -\omega \sin \theta \\ \sin \theta & \omega \cos \theta \end{vmatrix} = \omega$$

Entonces $f_c(t_1, t_2)$ nos queda

$$f_c(t_1, t_2) = \frac{1}{4\pi^2} \int_0^\pi \int_{-\infty}^{+\infty} F_c(\omega \cos \theta, \omega \sin \theta) e^{j\omega(t_1 \cos \theta + t_2 \sin \theta)} |\omega| d\omega d\theta$$

Formula de inversion de Radon

Observemos que:

$$f_c(t_1, t_2) = \frac{1}{4\pi^2} \int_0^\pi \int_{-\infty}^{+\infty} \underbrace{F_c(\omega \cos \theta, \omega \sin \theta) e^{j\omega(t_1 \cos \theta + t_2 \sin \theta)}}_{P_\theta(\omega)} |\omega| d\omega d\theta$$

$$P_\theta(\omega)$$

$$f_c(t_1, t_2) = \frac{1}{4\pi^2} \int_0^\pi \int_{-\infty}^{+\infty} \underbrace{P_\theta(\omega) e^{j\omega(t_1 \cos \theta + t_2 \sin \theta)}}_I |\omega| d\omega d\theta$$

Formula de inversion de Radon

Observemos que:

$$f_c(t_1, t_2) = \frac{1}{4\pi^2} \int_0^\pi \int_{-\infty}^{+\infty} P_\theta(\omega) e^{j\omega(t_1 \cos \theta + t_2 \sin \theta)} |\omega| d\omega d\theta$$

I

Es una IDFT

$$I = \int_{-\infty}^{+\infty} G_\theta(\omega) e^{j\omega t} d\omega \quad \text{donde:}$$

$$G_\theta(\omega) = P_\theta(\omega) |\omega| \quad IDFT[G_\theta(\omega)] = g_\theta(t)$$

$$\text{y } t = t_1 \cos \theta + t_2 \sin \theta$$

Formula de inversion de Radon

En definitiva nos queda que: $I = g_{\theta}(t) \big|_{t=t_1 \cos \theta + t_2 \sin \theta}$

$$I = g_{\theta}(t_1 \cos \theta + t_2 \sin \theta)$$

Reemplazando en $f_c(t_1, t_2)$ nos queda:

$$f_c(t_1, t_2) = \frac{1}{4\pi^2} \int_0^{\pi} g_{\theta}(t_1 \cos \theta + t_2 \sin \theta) d\theta$$

Formula de inversion de Radon

Interpretacion

$$f_c(t_1, t_2) = \frac{1}{4\pi^2} \int_0^\pi g_\theta(t_1 \cos \theta + t_2 \operatorname{sen} \theta) d\theta$$

$$G_\theta(\omega) = P_\theta(\omega) |\omega| \Rightarrow g_\theta(t) = p(\theta, t) \otimes \operatorname{IDFT} \{|\omega|\}$$

$$y \quad t = t_1 \cos \theta + t_2 \operatorname{sen} \theta$$

Formula de inversion de Radon

Resulta que:

$$g_{\theta}(t) = p(\theta, t) \otimes IDFT \{|\omega|\} = \frac{d}{dt} \int_{-\infty}^{+\infty} \frac{P_{\theta}(\tau)}{t - \tau} d\tau$$

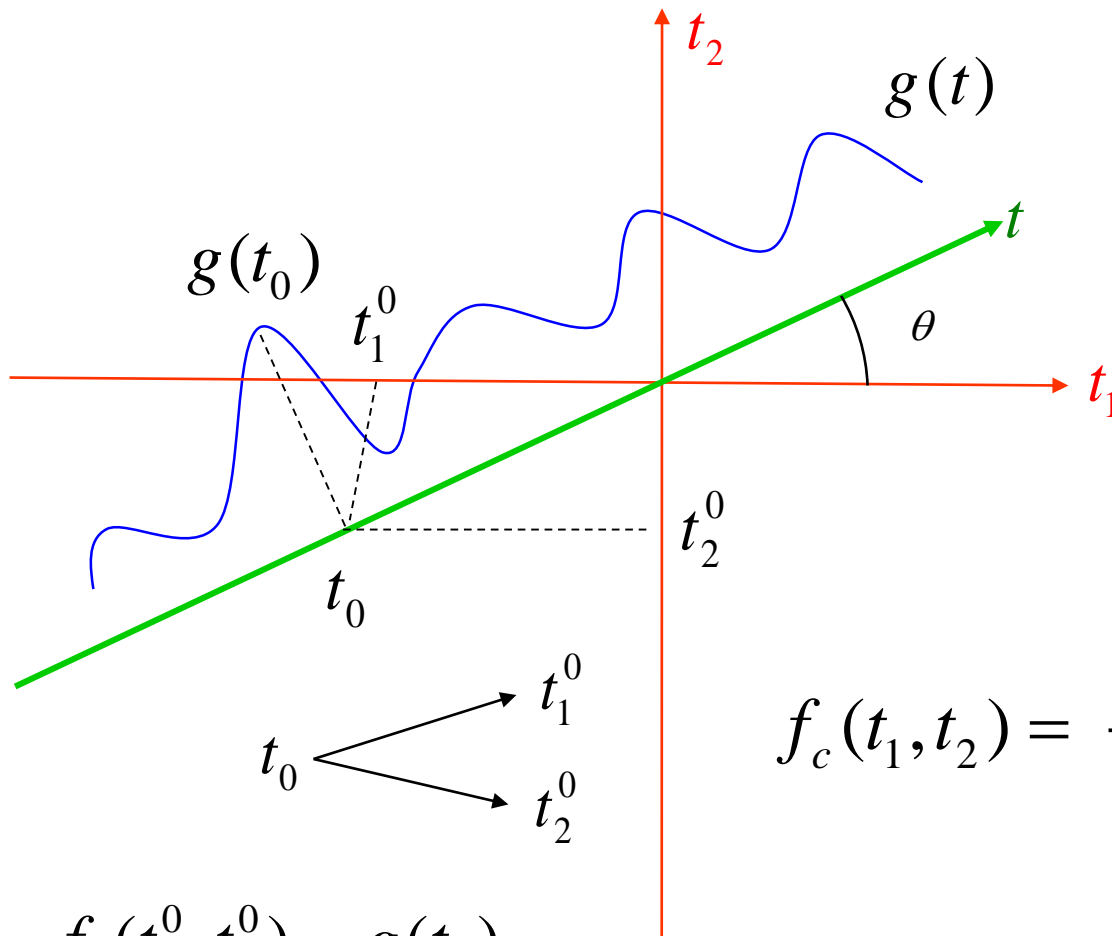
1- Encontramos $p(\theta, t)$

2- Hallamos $g_{\theta}(t) = p(\theta, t) \otimes IDFT \{|\omega|\} = \frac{d}{dt} \int_{-\infty}^{+\infty} \frac{P_{\theta}(\tau)}{t - \tau} d\tau$

3- Reemplazamos este resultado en $f_c(t_1, t_2)$

$$f_c(t_1, t_2) = \frac{1}{4\pi^2} \int_0^{\pi} g_{\theta}(t_1 \cos \theta + t_2 \sin \theta) d\theta$$

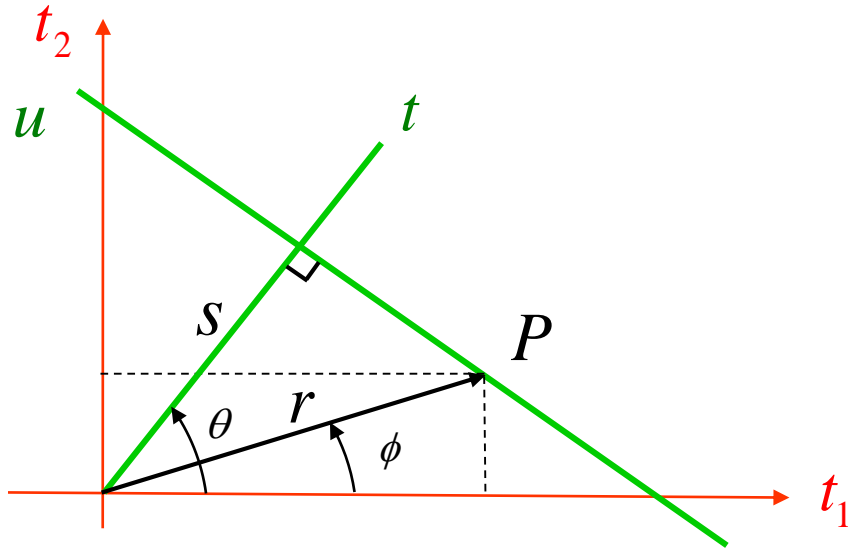
Convolution Backprojection Interpretación



$$f_c(t_1^0, t_2^0) = g(t_0)$$

$$f_c(t_1, t_2) = \frac{1}{4\pi^2} \int_0^\pi g_\theta(t) d\theta$$

Radon Transform



$$g(t, \theta) = \Re[f(t_1, t_2)] = \int_{-\infty}^{+\infty} \int_{-\infty}^{+\infty} f(t_1, t_2) \delta(t_1 \cos \theta + t_2 \sin \theta - t) dt_1 dt_2$$

$$-\infty < t < \infty \quad 0 \leq \theta < \pi$$

La función $g(t, \theta)$ es la transformada de Radon de $f(t_1, t_2)$
y es la proyección unidimensional de $f(t_1, t_2)$ en la dirección θ

Radon Transform

Respecto del sistema rotado (t, u) $g(t, \theta)$ puede ser expresada como:

$$g(t, \theta) = \int_{-\infty}^{+\infty} f(t \cos \theta - u \sin \theta, t \sin \theta + u \cos \theta) du$$

$$-\infty < t < \infty \quad 0 \leq \theta < \pi$$

La función $g(t, \theta)$ es denominada suma de rayos dado que representa la suma de $f(t_1, t_2)$ en la dirección θ .

La transformada de radon mapea el dominio espacial (t_1, t_2) al dominio (t, θ) . Cada punto en el dominio (t, θ) corresponde a una línea en el dominio espacial (t_1, t_2)

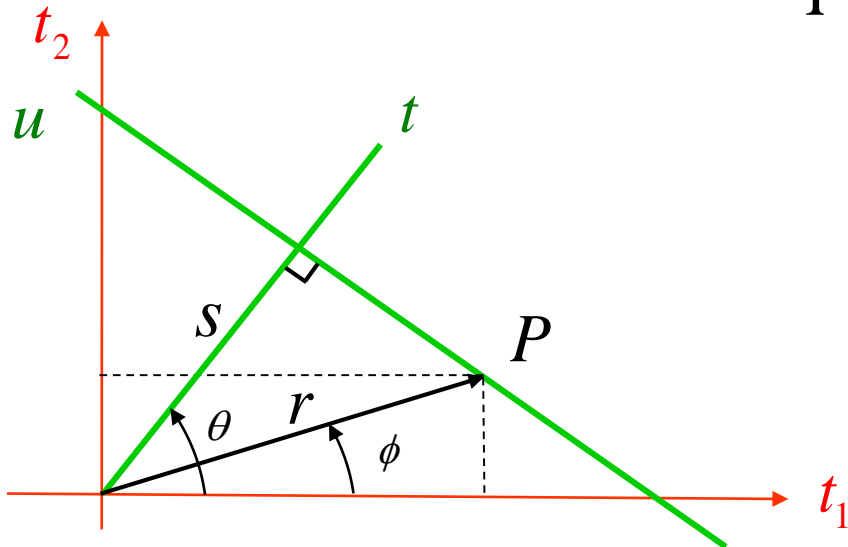
Radon Transform

Debe notarse que (t, θ) no son las coordenadas polares de (t_1, t_2) .

En efecto si llamamos a (r, θ) a las coordenadas de (t_1, t_2)

$$t_1 = r \cos(\phi) \quad t_2 = r \sin(\phi)$$

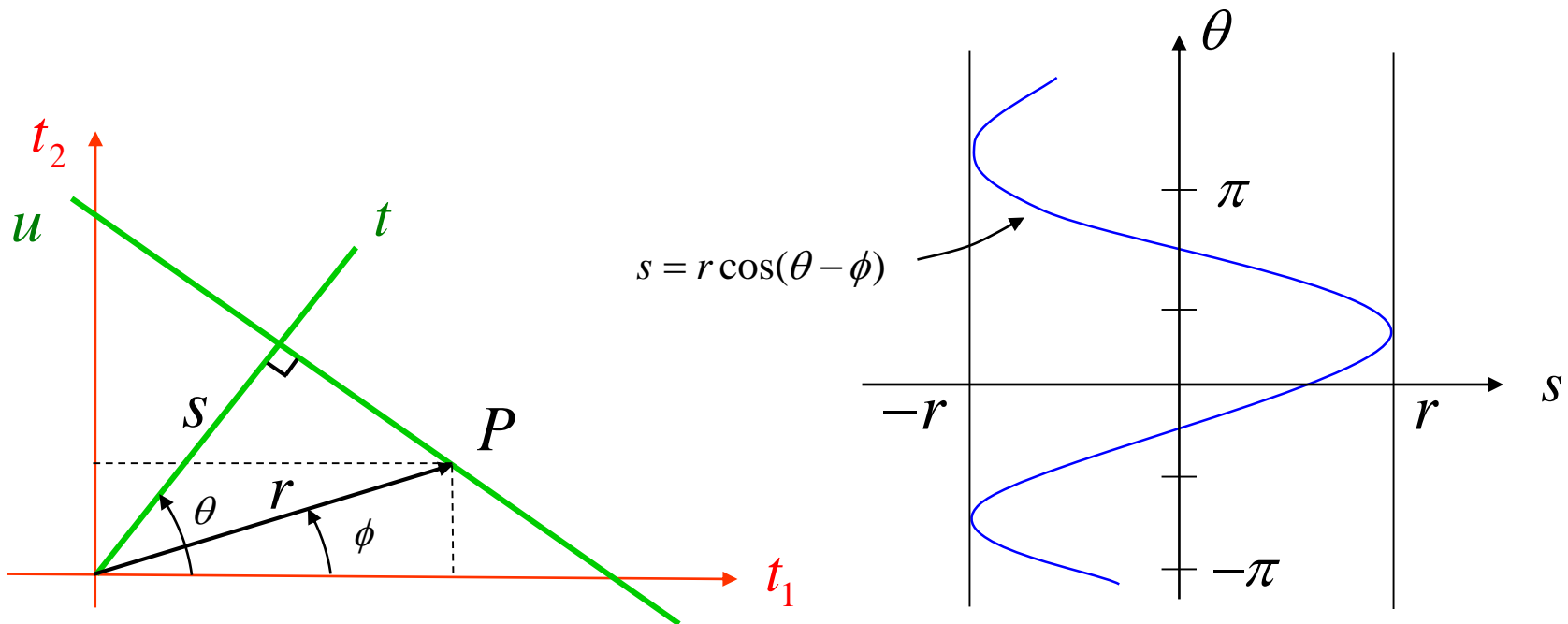
Entonces resulta que $s = r \cos(\theta - \phi)$



Radon Transform

Esto ultimo nos dice que el punto P se transforma en una senoidal en el plano (t, θ)

Entonces resulta que $s = r \cos(\theta - \phi)$



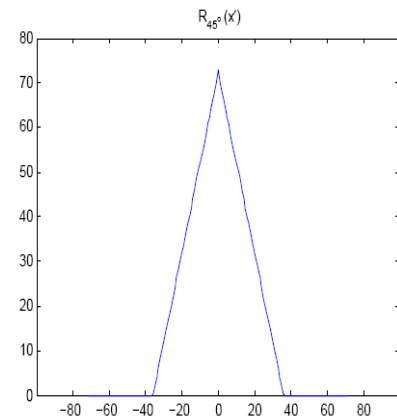
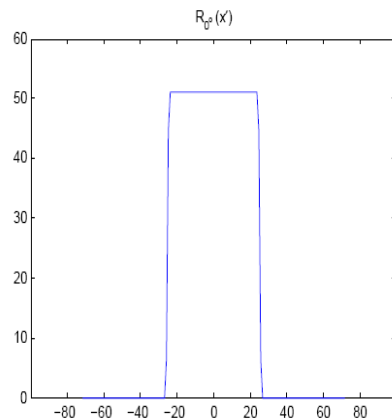
Matlab Support

RADON TRANSFORM

Obtiene las proyecciones a partir de la imagen

```
[R,xp] = radon(I,theta);
```

```
I = zeros(100,100);  
I(25:75, 25:75) = 1;  
imshow(I)  
[R,xp] = radon(I,[0 45]);  
figure; plot(xp,R(:,1)); title('R_{0^o} (x\prime)')
```



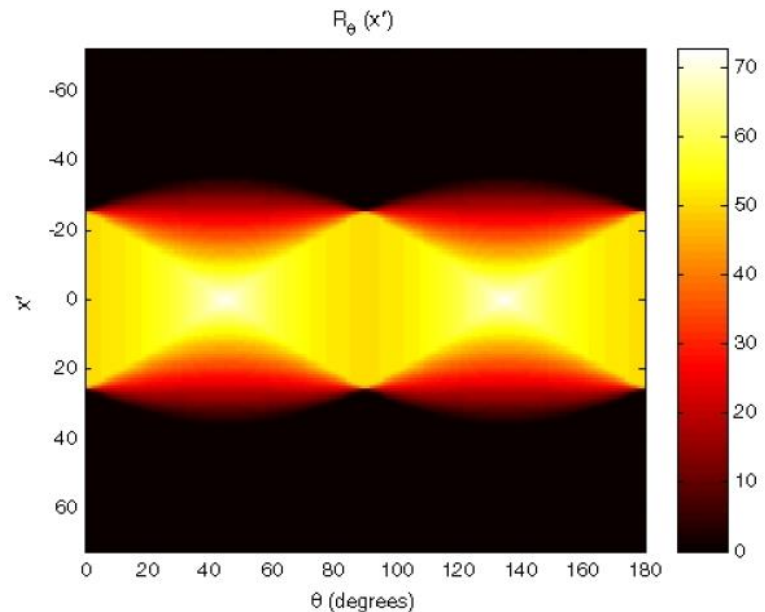
```
figure; plot(xp,R(:,2)); title('R_{45^o} (x\prime)')
```

Matlab Support

RADON TRANSFORM

Para ver la transformación para varios ángulos se suele verlas como una imagen.

```
theta = 0:180;  
[R,xp] = radon(I,theta);  
imagesc(theta,xp,R);  
title('R_{\theta} (X\prime)');  
xlabel('\theta (degrees)');  
ylabel('X\prime');  
set(gca,'XTick',0:20:180);  
colormap(hot);  
colorbar
```



Matlab Support

INVERSE RADON TRANSFORM

Podemos reconstruir la imagen a partir de las proyecciones.

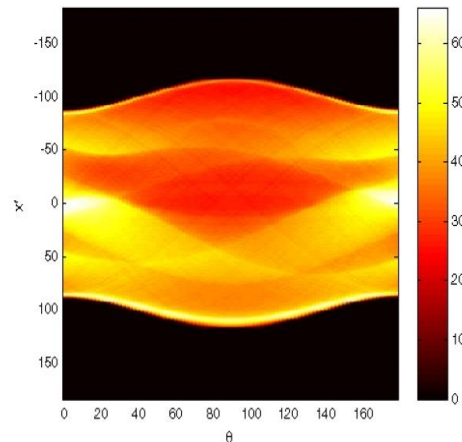
```
IR = iradon(R,theta);
```

```
P = phantom(256);  
imshow(P)
```



```
theta1 = 0:10:170; [R1,xp] = radon(P,theta1);  
theta2 = 0:5:175; [R2,xp] = radon(P,theta2);  
theta3 = 0:2:178; [R3,xp] = radon(P,theta3);
```

```
figure, imagesc(theta3,xp,R3); colormap(hot); colorbar  
xlabel('\theta'); ylabel('x\prime');
```



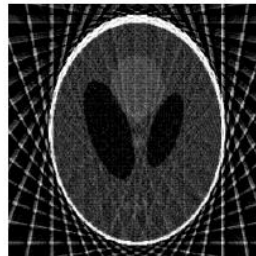
Matlab Support

INVERSE RADON TRANSFORM

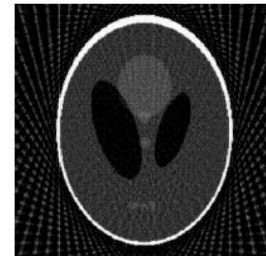
Podemos reconstruir la imagen a partir de las proyecciones.

```
IR = iradon(R,theta);
```

```
I1 = iradon(R1,10);  
I2 = iradon(R2,5);  
I3 = iradon(R3,2);  
imshow(I1)  
figure, imshow(I2)  
figure, imshow(I3)
```



I1



I2



I3